



SEMMELWEIS EGYETEM

Biofizikai és Sugárbiológiai Intézet,
Nanokémiai Kutatócsoport

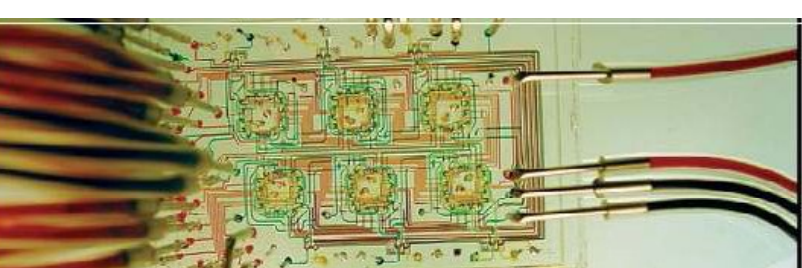


TRANSZPORTFOLYAMATOK III biológiai rendszerekben és biomechanika

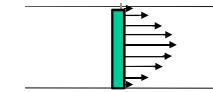
Zrínyi Miklós

egyetemi tanár, az MTA rendes tagja
mikloszrinyi@gmail.com

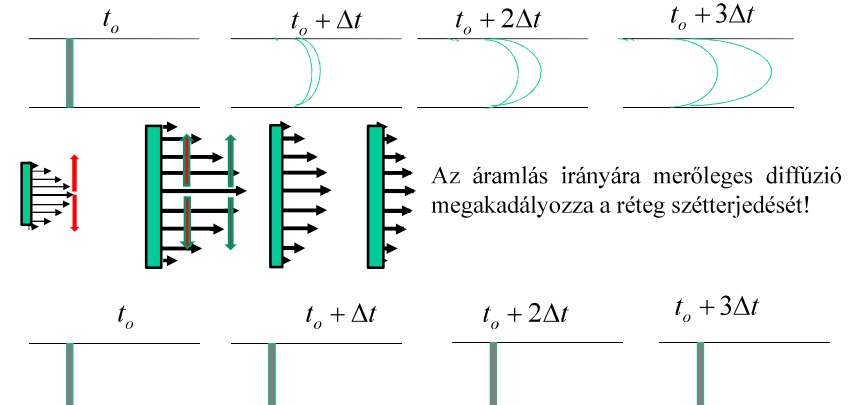
2018



Áramlás és diffúzió



Az áramlási profil következtében a koncentrációs réteg szétfolyik?

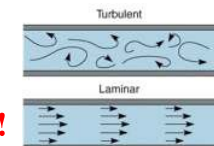


Microfluidics: science and technologies for designing/fabricating devices and processes for handling and control of minute amounts of fluids in a miniaturized system

$$R_e = \frac{v \cdot \rho \cdot d}{\eta}$$

mikrofluidika

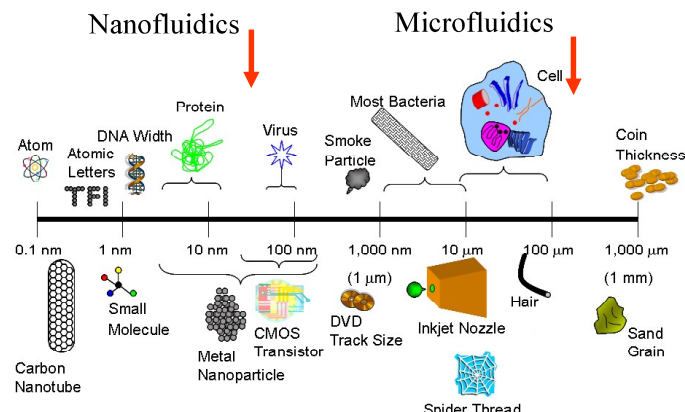
lamináris áramlás !



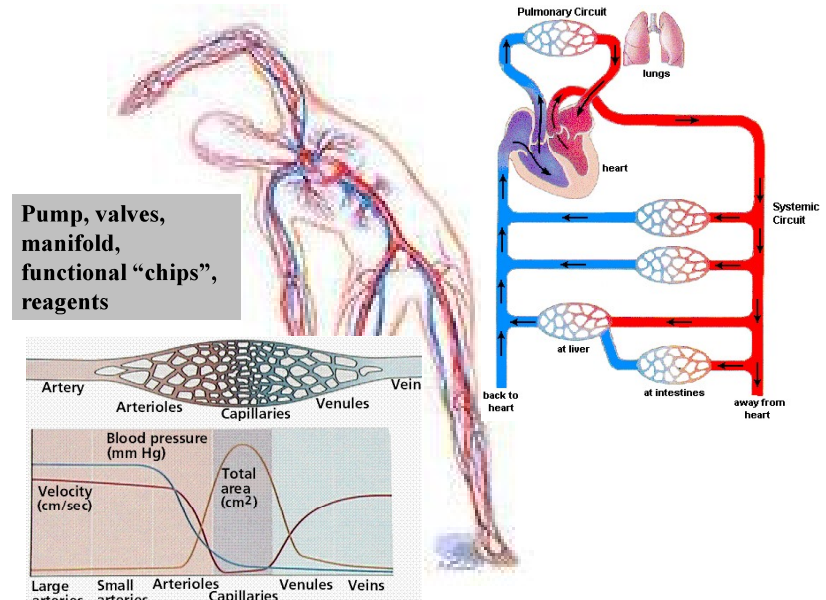
- opposite to turbulent flow
- low Reynold's number (inertial to viscous forces)
- flow follows certain paths
 - mixing typically does not occur
 - predict the position of a particle (if the start position is known)



Microfluidics compared to some important objects



Nature Uses Microfluidics!



Alap – energiaforgalom: **BMR**
Basal metabolic rate

$$BMR = \frac{dQ}{dt} \Big|_{nyugalom}$$



$$BMR \propto m_b^{3/4}$$

Kleiber törvény

A BMR a korral csökken

Energiaforgalom:(MR) és oxigén fogyasztás

alvás	83 W	O_2 : 0,24 L/perc
séta	265 W	O_2 : 0,76 L/perc
kerékpározás	400 W	O_2 : 1,13 L/perc

Átlagos ember átlagos termikus jellemzői:

Fajhő: 3,47 kJ/kgK
70 kg-os személy hőkapacitása: 243 kJ/C

$$Q = C \cdot m_b \cdot \Delta T \quad \frac{dQ}{dt} = C \cdot m_b \cdot \frac{dT}{dt} \quad \frac{dT}{dt} = \frac{1}{C \cdot m_b} \cdot \frac{dQ}{dt} = \frac{1}{C \cdot m_b} \cdot BMR$$

$$\frac{dT}{dt} = \frac{BMR}{C \cdot m_b}$$

 $\frac{dT}{t} = 1,2 \text{ } C^\circ/\text{óra}$ **Ha nem lenne veszteség és fizikai aktivitás!**

Hőveszteség: sugárzás: 54 – 60 %

Levegő : 25 %

Izzadás : 7 %

Légzés : 14 %

Fizikai aktivitás esetén

$$\frac{dQ}{dt} = f \cdot BMR$$

$$\frac{dT}{dt} = f \cdot \frac{BMR}{C \cdot m_b} \approx 1,2 f C^o / h$$

$$0 < f < 20$$

Fizikai aktivitás

aktivitás	f
alvás	1
ülés	1,5
állás	1,7
gyaloglás	4,7

Evés és hőtermelés nyugalomban

	Nagy evő	Kis evő	arány
Test súly (kg)	54,2	52,7	1,03
Kaja energia (kJ/nap)	9916	6485	1,54
Nappali hőtermelés (kJ/nap)	9079	5815	1,55
Éjszakai hőtermelés (kJ/nap)	7196	4602	1,56

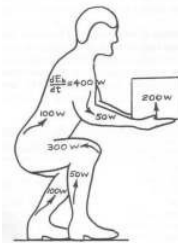
de....

$$\frac{dQ}{dt} = f \cdot BMR$$

$$0 < f < 20$$

Fizikai aktivitás

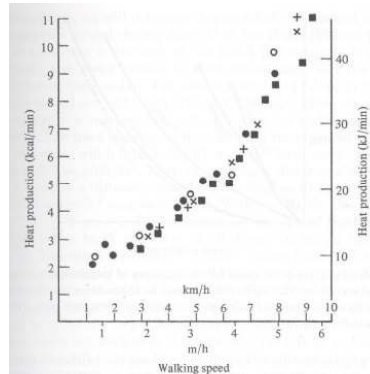
Energiaforgalom és mozgás



munka(fizika) \neq munka(biológia)

külső belső

Gyaloglással felszabadított hő függése a sebességtől.



Biológiai hőforgalom mérése

Direkt kalorimetria

Indirekt kalorimetria

$$\Delta Q = Q_{metabolizmus} + Q_{veszeség}$$

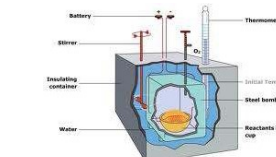
Oxigén fogyasztás és/vagy CO₂ termelés arányos a hőtermeléssel

$$Q_{veszeség} = Q_{sugárzó} + Q_{konvektív} + Q_{konduktív} + Q_{párolgási} + Q_{légzés}$$

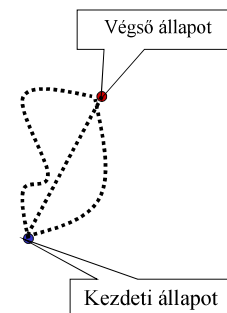
kötési energia



Direkt kalorimetria



Hess tétele:



anyag	kalorimetrikus energia kJ/g
szénhidrát	17,1
fehérje	23,6
etanol	29,7
zsír	39,6

anyag	energia sűrűsége J/Kg
ATP	$1,0 \cdot 10^5$
H_2	$1,2 \cdot 10^8$
zsír	$3,9 \cdot 10^7$
glükóz	$1,6 \cdot 10^7$

Direkt és indirekt kalorimetria

1 mol glükóz oxidációjához 6 mol=134,46 L oxigén kell!

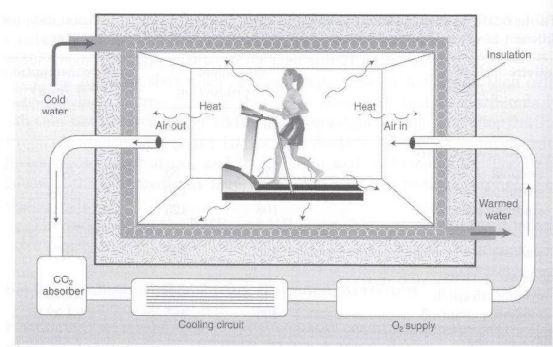
$$\Delta H = +2817 \text{ kJ}$$

Oxigén energia egyenérték

1 L oxigén fogyasztására 21 kJ energiát jelent

komponens	kalorimetrikus energia kJ/g	Oxigén egyenérték kJ/L	Szén-dioxid egyenérték kJ/L
szénhidrát	17,1	21,1	21,1
fehérje	23,6	18,7	23,3
etanol	29,7	20,3	30,3
zsír	39,6	19,8	27,9

Direkt és indirekt kalorimetria



$$\Delta H = +2817 \text{ kJ}$$

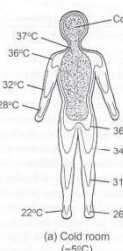


$$\eta = 61-65 \%$$

Kalorimetriai > metabolitikus
(V=konst.) (p=konst.)

A BELSŐ ENERGIA (H_O) TRANSZPORTJA

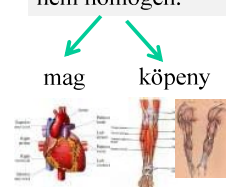
Hol keletkezik a nyugalmi metabolikus hő?



Hol veszik el a metabolikus hő?

$$Q_{veszeseg} = Q_{sugárzó} + \underbrace{Q_{konvektív} + Q_{konduktív}}_{25\%} + Q_{párolgási} + Q_{légzés}$$

A szervezetben belül a hőmérséklet eloszlás nem homogén.



54-60 %

7 %

14 %

Konduktív transzportfolyamatok egységes leírása

	diffúzió	hővezetés	reológia
ÁRAM:	komponens áram (tömeg áram)	energia áram	impulzus áram
HAJTÓERŐ:	∇c	∇T	∇v
ÁRAMSŰRŰSÉG:	$j_n = -D\nabla c$	$j_Q = -k\nabla T$	$j_i = -\eta\nabla v$
VÁLTOZÁS:	$\frac{\partial c}{\partial t} = D\nabla^2 c$	$\frac{\partial T}{\partial t} = \alpha\nabla^2 T$	

Fick

Fourier

Newton

Laplace operátor: $\nabla^2 = \frac{\partial^2}{\partial x^2} + \frac{\partial^2}{\partial y^2} + \frac{\partial^2}{\partial z^2}$

Konduktív hővezetés: Fourier törvények

$$j_Q = -k_T \frac{\Delta T}{\Delta x} \quad \frac{\partial T}{\partial t} = \alpha \nabla^2 T \quad \text{függvény görbülete} \quad \alpha = \frac{k_T}{\rho \cdot C_p}$$

anyag	T/K	$k_T / Wm^{-1}K^{-1}$	$\alpha / m^2 s^{-1}$	$c_p / kJkg^{-1}K^{-1}$
levegő	300	0,025	$2,11 \cdot 10^{-5}$	1,006
víz	300	0,609	$1,5 \cdot 10^{-7}$	4,186
zsír	298	0,21	$0,69 \cdot 10^{-7}$	3,258
vér	298	0,642	$1,76 \cdot 10^{-7}$	3,889
bőr	310	0,442	$1,19 \cdot 10^{-7}$	3,471

$$\frac{dQ_{hővezetés}}{dt} = -k_T \cdot A_s \cdot \frac{dT}{dx}$$

Pennes bio-hő egyenlete

$$\rho_t c_t \frac{\partial T}{\partial t} = \nabla(k_t \nabla T) + c_b w_b(T - T_b) + Q + Q_m$$

Parameter name	Symbol	Tissue	Tumor
Thermal conductivity (W/m)	k	0.42	0.42
Blood perfusion rate (l/s)	w_b	$18e^{-8}$	$9e^{-6}$
Density (kg/m^3)	ρ_b	920	920
Specific heat of blood (J/kg.K)	c_b	3000	3000
Arterial blood temperature (K)	T_b	310	310
Metabolic heat generation rate(W/ m^3)	Q_{met}	450	29000

Testhőmérséklet szabályzás

metabolizmus \longleftrightarrow hőveszeség

T=28 C° fibrilláció

T=30 C° Hőmérséklet szabályzás felborul

T=33 C° Test hővesztés

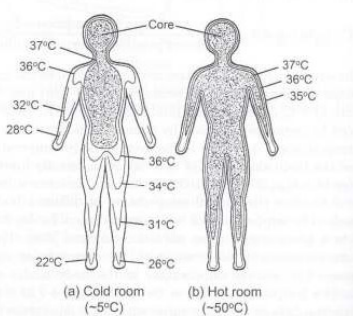
T=37 C°

T=41 C° Központi idegréndszer -

T=42 C° Fehérjék denaturálódnak



testhőmérséklet



Hősugárzás

Wien törvény: $R = \varepsilon\sigma T^4$ ε : emisszió

Stefan-Boltzmann konst.: $\sigma = 5,67 \cdot 10^{-8} \text{ W/m}^2\text{K}^4$

$$-\frac{dQ_{\text{sugárzó}}}{dt} = R \cdot A_s = \varepsilon\sigma T^4 \cdot A_s \quad A_s = 1,85 \text{ m}^2 \text{ átlagos felület}$$

$\varepsilon \approx 1$ emberi bőr

$$\frac{dQ_{\text{sugárzó}}}{dt} = \frac{dQ}{dt} \Big|_{\text{nyereség}} - \frac{dQ}{dt} \Big|_{\text{vesztéség}}$$

$$R = \varepsilon\sigma(T_{\text{test}}^4 - T_{\text{környezet}}^4)$$

$$\varepsilon_1 = \varepsilon_2 = \varepsilon$$



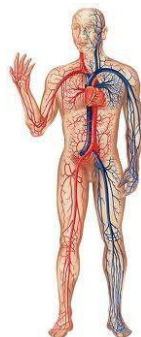
Konvektív hővezetés (1)

$$-\frac{1}{A_s} \frac{dQ_{\text{konvektív}}}{dt} = h_c \cdot (T_{\text{bőr}} - T_{\text{levegő}})$$

h_c : egységnyi felületre vonatkozó konvektív hővezetési tényező $\text{W/m}^2\text{C}^\circ$

Szél sebessége [m/s]	$h_c [\text{W/m}^2\text{C}^\circ]$
0,1	2,6
0,6	6,4
2,0	11,7
4,0	16,6

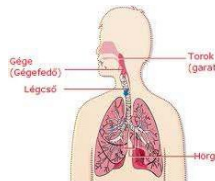
Szélben: $h_c = 10,45 - v + 10v^{1/2}$ v : áramló levegő sebesség: m/sec
(közelítés)



Testen belüli hővezetés (2)

(Test és vér közötti hővezetés)

$$-\frac{1}{A_s} \frac{dQ_{\text{veráram}}}{dt} = h_c \cdot (T_{\text{vér}} - T_{\text{testrész}})$$



Hővesztés párolgással (1)

légzés

Ki- és belégzés térfogata nyugalomban: 500 ml
Ki- és belégzés frekvenciája nyugalomban: 12 – 14 / perc

$$I_{\text{levegő}} = \frac{dV_l}{dt} \approx 0,1 \text{ l} \cdot \text{s}^{-1}$$

$$-\frac{dQ}{dt} = \rho_l c_{p,l} (T_{ki} - T_{be}) \frac{dV_l}{dt}$$



Hőveszteség párolgással (2) izzadás

Víz párolgáshöje: $\Delta h_{\text{parolgás}} = 2,25 \text{ kJ/g}$

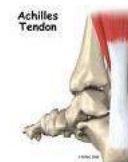
V_{izz}

$$-\frac{dQ}{dt} = \Delta h_{\text{parolgás}} \cdot (\rho_{\text{lev}}^{\text{ki}} - \rho_{\text{lev}}^{\text{be}}) \frac{dV_{izz}}{dt}$$

Biomechanika

A mechanika törvényeinek alkalmazása élő rendszerekre.
Erő hatására bekövetkező mozgásokat tárgyalja térben és időben.

passiv komponensek



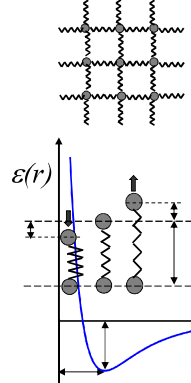
aktív komponensek

Erőt generálnak mint pl. az izmok,
Komplex mechanikai viselkedés

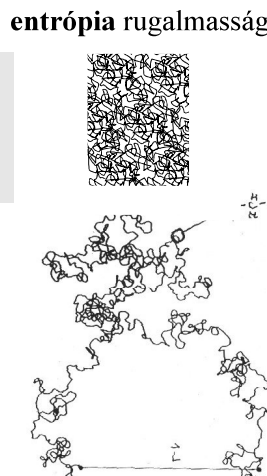


Biomechanika

energia rugalmasság

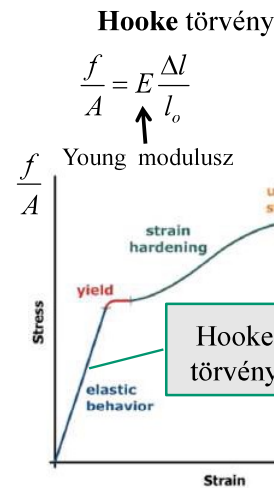


Nemlineáris,
időtől függő
mechanikai
viselkedés



Biomechanika

Nemlineáris,
időtől függő
mechanikai
viselkedés



neo-Hooke törvény

$$f / r_o^2 \pi = G (\lambda_x - \lambda_x^2)$$

Nominális feszültség: $f / r_o^2 \pi$

„nyíró,” modulusz: G

deformáció arány: λ_x

$$G = \frac{E}{2(1+\nu)}$$

Poisson arány

Egyirányú deformációnál a keresztirányú alakváltozás és a hosszirányú alakváltozás viszonya.

Mechanikai munka

Rugalmasság termodinamikája

$\Delta W = f \Delta l$

Rugalmasan tárolt energia
 F, G

Környezet	TD függvény	
elszigetelt	$S(U, V, n)$	$TdS = (dU + pdV)$
mechanikai p	$H(S, p, n)$ $H=U+pV$ Entalpia	$dH = TdS + Vdp$
termikus T	$F(T, V, n)$ $F=U-TS$ Szabadenergia	$dF = -SdT - pdV + fdl$ $dF_{T,V} = fdl$
mechanikai és termikus p, T	$G(T, p, n)$ $G=H-TS$ Szabadentalpia Gibbs energia	$dG = -SdT + Vdp + fdl$ $dG_{T,p} = fdl$

Az erő az energiával, vagy az entrópiával kapcsolatos?

Young modulusz

haj:	12000 MPa
combcson:	6000 MPa
kollagén	2000 MPa
Achilles in:	250 MPa
acél:	200 MPa
köröm:	160 MPa
izületi porc:	24 MPa
idegrost:	10 MPa
porckorong:	6,0 MPa
arcbőr:	0,3 MPa
koronária:	0,1 MPa
szívizom:	0,08 MPa
nyelőcső:	0,03 MPa
harántcsíkolt izom:	0,02 MPa

Izoterm deformációnál: $dF = SdT - pdV + fdl$

$$f = \left(\frac{\partial F}{\partial l} \right)_{T,V}$$

$$F = U - TS$$

$$f = \left(\frac{\partial F}{\partial l} \right)_{T,V} = \left(\frac{\partial U}{\partial l} \right)_{T,V} - T \left(\frac{\partial S}{\partial l} \right)_{T,V}$$

$$f_U$$

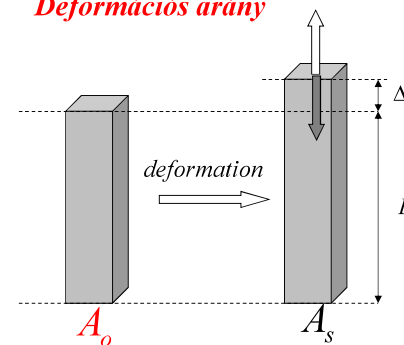
$$f_S$$

A rugalmasan tárolt energia egyaránt származhat a belső energia- és/vagy az entrópia megváltozásából.

Egyirányú deformáció

$$\lambda = L / L_o$$

Deformációs arány



Deformáció:

$$\varepsilon = \frac{\Delta L}{L_o} = \frac{L - L_o}{L_o} = \lambda - 1$$

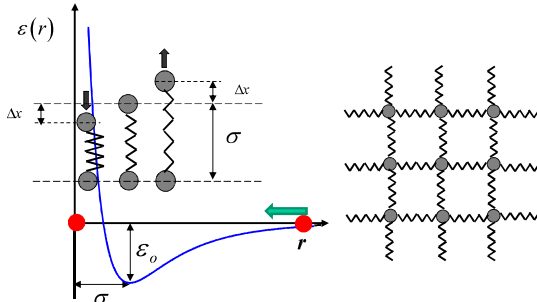
$$\sigma_n = \frac{f}{A_s} \quad \text{feszültség}$$

$$\sigma_n = \frac{f}{A_o} \quad \text{nominális feszültség}$$

$$\sigma_n = E \cdot \varepsilon \quad \text{Hooke törvény}$$

Young modulusz

Kristályos anyagok rugalmassága



$$\varepsilon(r) \approx \varepsilon_o + \frac{\partial \varepsilon(r)}{\partial r}(r-\sigma) + \frac{1}{2} \frac{\partial^2 \varepsilon(r)}{\partial r^2}(r-\sigma)^2 + \dots \rightarrow \sigma_s = \frac{f}{A_s}$$

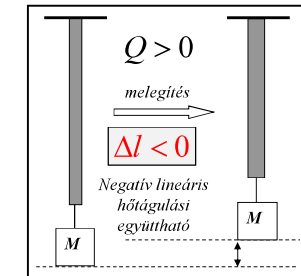
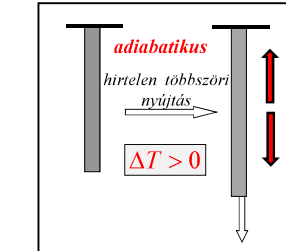
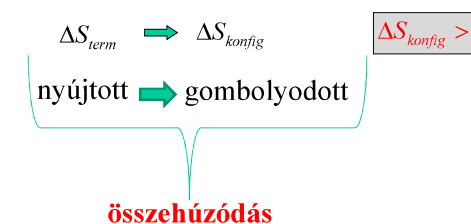
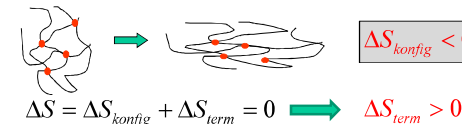
$$\varepsilon(r) \approx \frac{1}{2} \frac{\partial^2 \varepsilon(r)}{\partial r^2}(r-\sigma)^2 \rightarrow f(r) = \frac{d\varepsilon(r)}{dr} \approx E \cdot (r-\sigma) = E \cdot \Delta x$$

Hooke törvény

A deformáció során csak a belső energia változik: f_U $f_S = 0$

MAKROMOLEKULÁK RUGALMASSÁGA

Entrópia rugalmasság



Határozzuk meg f_S és f_U -t!

$$f = \left(\frac{\partial F}{\partial l} \right)_{T,V} = \left(\frac{\partial U}{\partial l} \right)_{T,V} - T \left(\frac{\partial S}{\partial l} \right)_{T,V}$$

$$f = f_U + f_S$$

$$\left(\frac{\partial^2 F}{\partial T \partial l} \right) = \left(\frac{\partial^2 F}{\partial l \partial T} \right) \quad \left(\frac{\partial^2 F}{\partial l \partial T} \right) = \left(\frac{\partial f}{\partial T} \right)$$

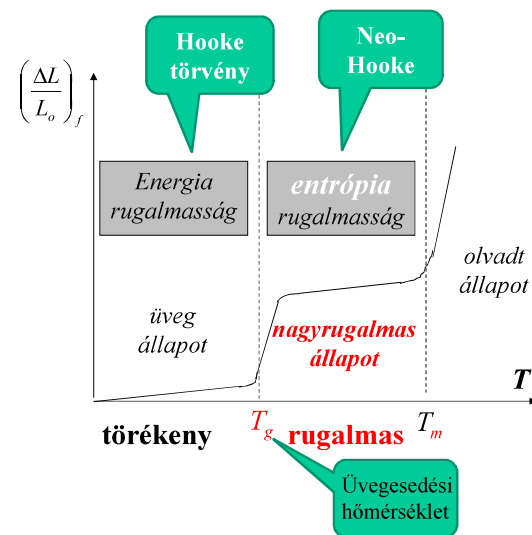
$$\left(\frac{\partial^2 F}{\partial l \partial T} \right) = \frac{\partial}{\partial T} \left(\frac{\partial F}{\partial l} \right) = \left(\frac{\partial f}{\partial T} \right)$$

$$\left(\frac{\partial f}{\partial T} \right) = - \left(\frac{\partial S}{\partial l} \right)$$

$$f = \left(\frac{\partial U}{\partial L} \right)_{T,V} + T \left(\frac{\partial f}{\partial T} \right)_{\lambda,V} = f_U + f_S$$

Rugalmas polimereknél: $f_U \ll f_S$ $f \approx f_S$

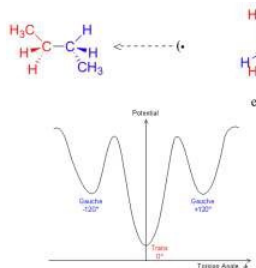
Amorf polimerek termomechanikai görbéje



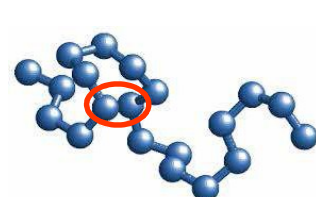
A térszerkezetet meghatározó alapvető kölcsönhatások

Makromolekulák szerkezetét kialakító kémiai kötések és molekuláris kölcsönhatások minden tekintetben egyenértékűek a kismolekulájú anyagok hasonló kémiai környezetben lévő kötéseivel és csoportjainak kölcsönhatásával.

Rövidtávú kölcsönhatások



Hosszútávú kölcsönhatások

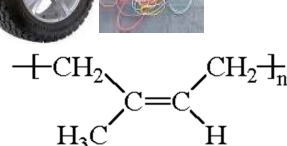


Nem minden polimer rugalmas.

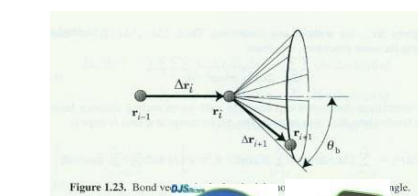
Mitől függ a rugalmasság?



Hajlékony láncú polimerek



kaucsuk,
polyisoprene

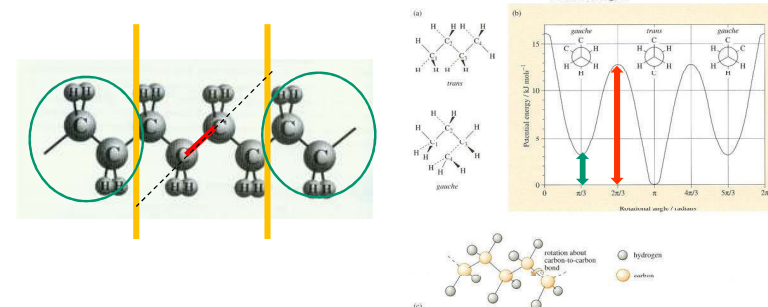
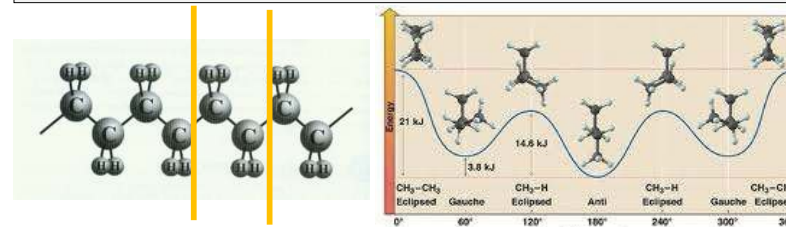


R = -OH, -CH=CH₂, -CH₃, or another alkyl or aryl group

szilikon gumi,
polidimetilsziloxán

A rotáló egységek közötti távolság növelése kedvez a hajlékonyságnak!

Polimerek hajlékonyságát a rövidtávú kölcsönhatások- és a termikus energia viszonya határozzák meg



Hajlékony polimerek modelljei

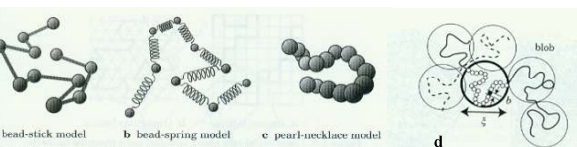
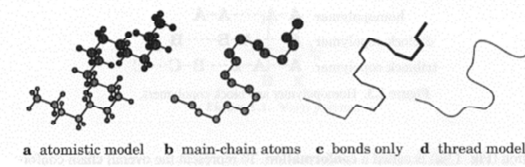


Figure 1.6. Various models for a linear chain polymer in a continuous space.

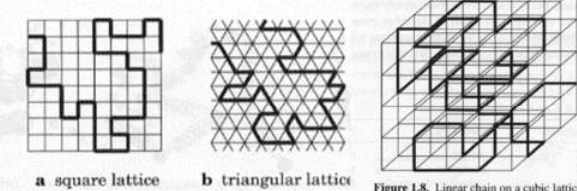
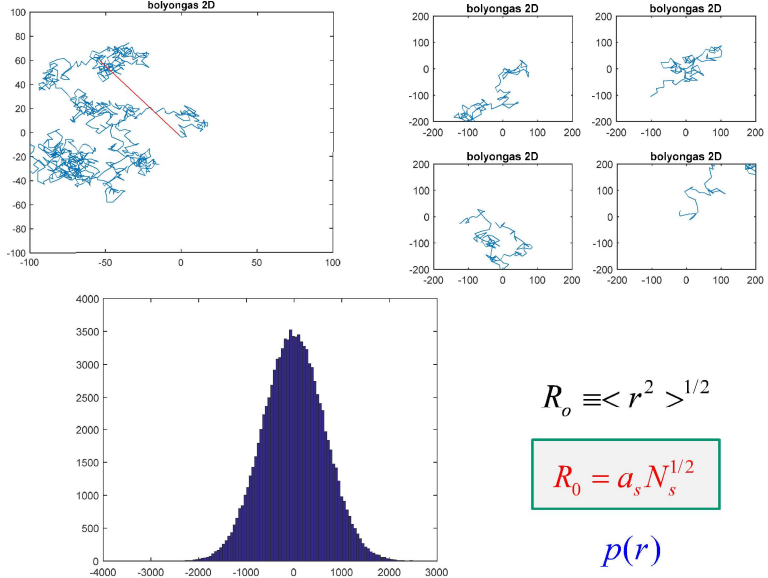


Figure 1.8. Linear chain on a cubic lattice.

Szimulációk



Nyújtott
lánc $\Delta S > 0$ gombolyag
Konfigurációs entrópia
növekszik

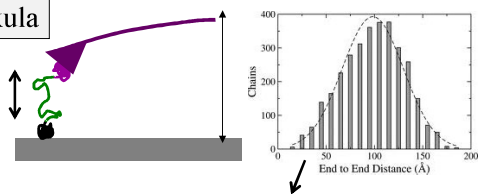
$$S = k_B \ln W$$



Ludwig Boltzmann (1844-1906)

$$p(r) \propto W \quad \rightarrow \quad s(r) = s^o + k_B \ln p(r)$$

Egyetlen ideális makromolekula



$$s(r) = s^o + k_B \ln p(r) \quad p(r) = \left(\frac{3}{2\pi R_\Theta^2} \right)^{3/2} \exp \left(-\frac{3}{2R_\Theta^2} r^2 \right).$$

$$s_{\text{konfig}}(r) = \text{const.} - \frac{3k_B}{2R_\Theta^2} r^2$$

$$f_s = -T \left(\frac{\partial s}{\partial r} \right) \quad f_s = \frac{3k_B T}{R_\Theta^2} r \quad f_s = \frac{3k_B T}{R_\Theta} \left(\frac{r}{R_\Theta} \right)$$

Egyetlen ideális makromolekula deformációja követi a Hooke törvényt!